

Numerical Simulation of Pollutant Dispersion in Surface Water Resources

A. Shamsaii¹, A. N. Jilani²

Abstract

The main objective of this study is to develop a higher order numerical scheme to simulate the pollutant spreading in surface water resources. The new discretisation schemes in Finite Difference Method are presented in one and two dimensional domain to predict surface water quality. Moreover, the effect of dimensionless computational numbers on numerical processing and errors is investigated for several methods. The grid size sensitivity analysis is made based on numerical results which are obtained in several methods. A real case study is made for thermal pollutant released from cooling water outfall of a power plant into the adjacent river. The numerical results are compared with field measurements and a good agreement is obtained.

Keywords: Numerical modeling, Advection, Diffusion, Surface water resources.

شبیه‌سازی عددی پخش آلودگی در منابع آب سطحی

ابوالفضل شمسایی^۱، عطاءاله نجفی جیلانی^۲

چکیده

هدف از این تحقیق، دستیابی به روش مناسب برای تحلیل عددی مسئله توزیع آلودگی در آبهای سطحی است به نحوی که ضمن تأمین محدوده پایداری مناسب و حداقل خطای عددی، دقت نتایج افزایش یابد. در تحقیق حاضر، با استفاده از روش عددی تفاضل محدود^۱ و استفاده از الگوهای گسسته سازی^۲ جدید، معادله دیفرانسیل جزئی حاکم بر پخش آلودگی در سیال در شرایط یک و دو بعدی تحلیل شده است. همچنین تأثیر اعداد بدون بعد شامل اعداد کورانت^۳ و پکلت^۴ در روند حل عددی و مقایسه روشهای مختلف تحلیل از حیث تأثیرپذیری از این پارامترها و همچنین تحلیل حساسیت نسبت به ابعاد شبکه مورد مطالعه قرار گرفته است. براساس نتایج بدست آمده و با مطالعه موردی تخلیه پساب گرم یک نیروگاه حرارتی ناشی از عملکرد سیستم خنک کننده آن در رودخانه مجاور، الگوی بهینه گسسته سازی در روش تفاضل محدود تعیین شده و انطباق خوبی بین نتایج حل عددی و اندازه‌گیری‌های میدانی ایجاد شده است.

کلمات کلیدی: مدل‌سازی عددی، انتشار، پخشیدگی، منابع آب سطحی.

1- Professor of Civil Engineering, Sharif University of Technology, Tehran, Iran.

2- Ph.D. Student of Civil Engineering, Sharif University of Technology, Tehran, Iran.

۱. استاد دانشکده مهندسی عمران، دانشگاه صنعتی شریف

۲. دانشجوی دکتری مهندسی آب، دانشکده مهندسی عمران، دانشگاه صنعتی شریف

معادله حاکم بر پدیده انتقال همرفت^۳ و انتشار^۱ هر کمیت اسکالر در محیط سیال به صورت زیر تعیین می‌شود:

$$\frac{\partial \phi}{\partial t} + \vec{V} \cdot \nabla \phi = \nabla \cdot (D \cdot \nabla \phi) + S \quad (1)$$

که در آن ϕ = کمیت اسکالر افزوده به محیط سیال، \vec{V} بردار سرعت جریان به طوری که $\vec{V} = (u, v, w)$ ، $D =$ ضریب انتشار، $t =$ زمان و $S =$ جمله منبع یا مخزن^۱ است که می‌تواند چگونگی زوال و یا افزایش کمیت اسکالر را نشان دهد. بردار ∇ نیز عملگر گرادینان سه بعدی است.

برای یک کانال طولانی و با فرض عدم وجود کمیت آلاینده در سیال در شرایط اولیه، ثابت بودن سرعت و ضریب انتشار در امتداد طولی و وجود یک منبع تزریق کمیت اسکالر به سیال با مقدار ثابت در بالادست، حل تحلیلی معادله (۱) به صورت زیر خواهد بود:

$$\phi(x, t) = \frac{\phi_0}{2} \left[\operatorname{erfc}\left(\frac{x-ut}{\sqrt{4Dt}}\right) + \operatorname{erfc}\left(\frac{x+ut}{\sqrt{4Dt}}\right) \cdot \exp\left(\frac{ux}{D}\right) \right]$$

که در آن $\phi_0 =$ مقدار غلظت تزریقی در مرز بالادست، $\phi(x, t) =$ همین مقدار در نقطه‌ای به فاصله x از بالادست کانال و پس از گذشت زمان t ، erfc ، مکمل تابع خطا و u مقدار عددی سرعت در راستای طولی است. در شرایط یک‌بعدی، نتایج به‌دست آمده از رابطه اخیر به‌عنوان مبنا در محاسبه مقادیر خطای روش‌های عددی مورد استفاده قرار می‌گیرند. در حالی‌که با برقراری شرایط دوبعدی در سطح، داده‌های حاصل از اندازه‌گیری میدانی در محیط سیال ملاک ارزیابی خطا در شیوه‌های مختلف حل عددی خواهد بود. رابطه اخیر تنها برای شرایط یک بعدی کاربرد داشته و در این تحقیق نیز در همین حالت برای تعیین خطای حل عددی مورد استفاده قرار گرفته است. در تحقیق حاضر برای شرایط دوبعدی از نتایج اندازه‌گیری میدانی برای سنجش صحت نتایج حل عددی استفاده شده است.

۲- معرفی الگوهای منقطع سازی

به‌جهت امکان مقایسه الگوهای منقطع‌سازی در روش تفاضل محدود، ابتدا روابط حاکم بر هر روش به صورت کلی معرفی شده و پس از ارائه مبانی عددی، نتایج به‌کارگیری هر یک در شرایط دو بعدی مورد بررسی قرار می‌گیرد.

بهره‌گیری از روش تفاضل محدود در تحلیل مسائل توزیع هر کمیت اسکالر همچون آلودگی حرارتی در محیط سیال، در صورت استفاده از الگوی مناسب منقطع سازی معادلات حاکم، ضمن کاهش بازه زمانی حل عددی و ایجاد شرایط پایداری کامل^۵، منجر به افزایش دقت نتایج حاصله خواهد شد. تاکنون روشهای عددی تفاضل محدود و اجزای محدود^۶ در الگوهای متفاوتی برای تحلیل عددی توزیع آلودگی در منابع آب سطحی مورد استفاده قرار گرفته‌اند.

Arnold et al. (1990) با استفاده از روش تفاضل محدود و منقطع سازی معادلات با الگوی مرتبه دوم، پخش آلودگی در سیال را در شرایط دوبعدی در سطح شبیه‌سازی کردند. در این تحقیق روش مورد استفاده از حیث حساسیت به مشخصات شبکه مورد تحلیل قرار گرفت. آنان نتیجه گرفتند که در زمانی که عامل انتقال ناشی از سرعت به‌عنوان عامل برتر و تعیین‌کننده در پخش آلودگی موثر باشد، روش عددی مورد استفاده حساسیت کمتری نسبت به ابعاد شبکه از خود نشان می‌دهد.

Trudgill and Ball (1995) با استفاده از روش تفاضل محدود و به‌کارگیری الگوی مرتبه دوم در محدوده داخلی میدان حل و مرتبه دوم اصلاح شده در نزدیکی مرزها، معادله حاکم بر پخش آلودگی در شرایط دوبعدی را مورد تحلیل عددی قرار داده‌اند. بر اساس این تحقیق در صورتی که مرزها به اندازه کافی دور از محدوده مورد مطالعه انتخاب شوند و با صرف زمان قابل توجه در تحلیل سیستم، نتایج از دقت مناسبی برخوردار خواهند بود.

Brian et al. (1998) با استفاده از روش تفاضل محدود و به‌کارگیری الگوی مرتبه دوم در شرایط دوبعدی در مقطع، شبیه‌سازی توزیع شوری برای جریان همگام^۷ را انجام داده‌اند. بر اساس نتایج این تحقیق که در تجزیه و تحلیل جریان عبوری از بازشوی ارتباطی میان گذر دریاچه بزرگ نمک^۸ در ایالات متحده آمریکا به‌کار گرفته شده، با رعایت محدودیت ابعاد شبکه‌بندی میدان حل، می‌توان نتایج مناسبی از روش عددی مورد بررسی به‌دست آورد.

آنچه که در مطالعه حاضر بررسی می‌شود، تعیین الگوهای منقطع سازی در روش عددی تفاضل محدود است به‌گونه‌ای که با مقایسه آنها، امکان ارائه الگوهای مناسبتری جهت شبیه‌سازی پخش آلودگی در آبهای سطحی در قالب این روش میسر گردد. قبل از بررسی الگوهای منقطع سازی به اختصار به بیان معادله کلی حاکم بر مسئله پرداخته می‌شود.

۱-۲- روش مرتبه دوم همگام^{۱۲} (QUICK)

گره فرضی که قبل از مرز بالادست محدوده مطالعاتی قرار دارد، با عبور یک منحنی مرتبه دوم از نزدیکترین دو گره و مرز بالادست حاصل می‌گردد. شمایی از نقاط درگیر در تعیین کمیت آلاینده برای گره های محاسباتی نزدیک مرز در شکل ۲ نشان داده شده است. در این شکل UBC نشانگر شرایط مرزی بالادست جریان، LW نشانگر دیواره چپ حجم کنترل و RW نشانگر دیواره راست آن است (Prosser, 2001).

آنچه تاکنون بررسی شد، وضعیت یک بعدی مسئله در امتداد طولی رودخانه بود. حال به بررسی شرایطی می‌پردازیم که توزیع آلودگی در شرایط دائمی و در پلان رودخانه به صورت دو بعدی انجام می‌گیرد. با به کارگیری شیوه‌ای مشابه قبل، در تعیین مقدار کمیت اسکالر $\phi(i + \frac{1}{2}, j)$ ، رویه دو بعدی مار بر شش نقطه $\phi_{i,j}, \phi_{i+1,j}, \phi_{i-1,j}, \phi_{i,j-1}, \phi_{i,j+1}, \phi_{i-1,j-1}$ به کار خواهد رفت و به این ترتیب برای تعیین ϕ در همه دیواره‌های حجم کنترل، هفت گره محاسباتی به صورت نشان داده شده در شکل ۳ دخالت خواهند داشت.

نتایج قابل پیش‌بینی منتج از به کارگیری روش فوق به عنوان نمونه برای یکی از دیواره‌ها به صورت زیر خواهد بود:

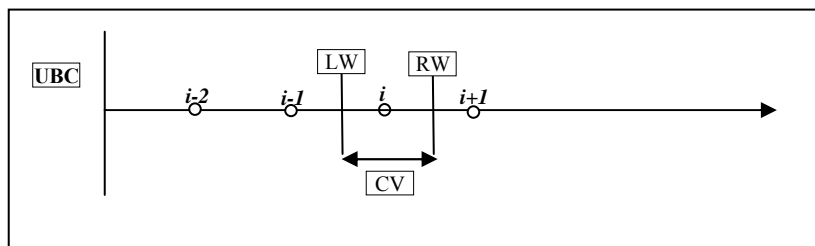
$$\phi(i - \frac{1}{2}, j) = \frac{-1}{8} \phi_{i-2,j} + \frac{3}{4} \phi_{i-1,j} + \frac{3}{8} \phi_{i,j} \quad (5)$$

در این روش، تخمین مقدار کمیت اسکالر ϕ در هر دیواره حجم کنترل با عبور دادن یک منحنی درجه دو انجام می‌شود به طوری که از سه نقطه اصلی مشخص کننده این منحنی، دو نقطه از سمت بالادست دیواره حجم کنترل و دیگری از سمت پایین دست آن انتخاب می‌گردد. به این ترتیب در تعیین کمیت آلودگی در دیواره سمت چپ حجم کنترل یعنی $\phi_\ell(i)$ ، نقاط $\phi_{i-2}, \phi_{i-1}, \phi_i$ و در تعیین همین مقدار در دیواره سمت راست حجم کنترل یعنی $\phi_r(i)$ سه نقطه $\phi_{i-1}, \phi_i, \phi_{i+1}$ دخالت خواهند داشت. این الگو در شکل ۱ قابل مشاهده است. در این شکل LW بیانگر دیواره چپ و RW بیانگر دیواره راست حجم کنترل است و CV نیز محدوده حجم کنترل را نشان می‌دهد. تمامی این تعاریف برای حالت یک بعدی ارائه شده اند. با فرض عبور منحنی $\phi(x) = ax^2 + bx + c$ و برقراری شرایط $\phi(2\Delta x) = \phi_i$ و $\phi(0) = \phi_{i-2}$ در دیواره های حجم کنترل چنین به دست می‌آید (Chiew and Peel, 2002):

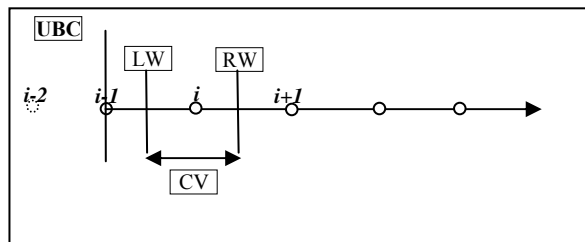
$$\phi_\ell(i) = \frac{-1}{8} \phi_{i-2} + \frac{6}{8} \phi_{i-1} + \frac{3}{8} \phi_i \quad (3)$$

$$\phi_r(i) = \frac{-1}{8} \phi_{i-1} + \frac{6}{8} \phi_i + \frac{3}{8} \phi_{i+1} \quad (4)$$

تعیین مقدار کمیت اسکالر در دیواره‌های حجم کنترل در برگیرنده گره‌های محاسباتی مجاور مرزها با به کارگیری این روش نیاز به تعریف یک گره محاسباتی فرضی دارد که مقدار کمیت اسکالر در این



شکل ۱- نقاط مورد استفاده در الگوی منقطع سازی مرتبه دو با انتقال به سمت بالادست



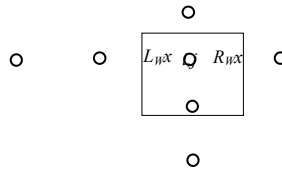
شکل ۲- نقاط مورد استفاده در الگوی منقطع سازی مرتبه دودر نزدیکی مرز بالا دست

تحقیقات منابع آب ایران، سال دوم، شماره ۲، پاییز ۱۳۸۵
Volume 2, No. 2, Fall 2006 (IR-WRR)
84

Rijy
i,j-1
i,j-2

i,j+1
i+1,j

y,v
x,u



شکل ۳- نقاط مورد استفاده در الگوی منقطع سازی مرتبه دوبرای حالت دو بعدی در پلان

همان کمیت‌های به کار رفته در معادله (۶) هستند که به جای * می‌تواند زیرنویس l (برای دیواره چپ حجم کنترل) و یا r (برای دیواره راست حجم کنترل)، قرار گیرد. عددکورانته به صورت $(Cr = u \cdot \Delta t / \Delta s)$ و عدد پکلت به صورت $(Pc = u \cdot \Delta s / D)$ تعریف می‌شود که در آنها u بردار سرعت با دو مولفه u و v ، Δs بازه مکانی در جهات اصلی x یا y بسته به راستای محاسبه و D بردار ضریب انتشار آلودگی با دو مولفه D_x برای انتشار در راستای طولی و D_y برای انتشار آلاینده در راستای عرضی رودخانه است تا شرایط کلی از حیث نحوه توزیع منظور گردد (Simons, 1996, De Roo and Jetten, 1999).

۳-۲- معرفی روشهای جدید

به منظور امکان مقایسه چگونگی تغییر در دقت نتایج با افزایش مرتبه منحنی به کار رفته در تخمین کمیت آلاینده در دیواره‌های حجم کنترل، گامهای بعدی مسیری که پیش از این توسط روشهای QUICK یا QUICKEST معرفی شده بود، مورد آزمایش قرار گرفته است. درگام نخست، منحنی مرتبه سوم به صورت منتقل شده به سمت بالادست (یعنی انتخاب نقاط بیشتری از سمت بالادست نقطه واقع در حجم کنترل تحت مطالعه) به کار گرفته می‌شود به نحوی که به عنوان نمونه در تعیین آلودگی در دیواره چپ حجم کنترل (i) (با فرض مثبت بودن جهت سرعت)، منحنی مار بر چهار نقطه ϕ_i ، ϕ_{i-1} ، ϕ_{i-2} و ϕ_{i-3} ملاک است (Watson et al., 1996, Walton and Hunter, 1996). به عبارت دیگر انتخاب تعداد سه نقطه از سمت ورود جریان به حجم کنترل و یک نقطه از سمت خروج آن انجام می‌شود.

این روش در مجاورت مرزهای پایین دست و بالادست و با اعمال تغییر مشابه روش QUICK و همچنین ملحوظ نمودن شرایط مرزی تعریف شده، قابل کاربرد خواهد بود. نتایج حاصله از این روش تحت عنوان روش TDS^{۱۴} با سایر روشهای عددی معرفی شده در این تحقیق مقایسه و بررسی شده‌اند. تحلیل نتایج وقتی کامل خواهد بود

با اعمال شیوه انقطاع معادله حاکم در مجاورت مرزها مشابه آنچه در شرایط یک بعدی گفته شد، برای تمامی گره‌های محدوده محاسباتی امکان حل معادله حاکم بر پخش آلودگی در شرایط دوبعدی وجود خواهد داشت. نامگذاری دیواره‌های حجم کنترل در این شکل نیز به صورت نمونه با Lwx نشان داده شده که بیانگر دیواره چپ عمود بر محور x است و همین قاعده برای سایر اسامی اشاره شده نیز صادق است (جیلانی، ۱۳۷۶).

۲-۲- روش مرتبه دوم غیر همگام (QUICKEST)

اگر روش قبل در تعیین مقدار کمیت اسکالر در دیواره‌ها برای شرایط غیردائمی^{۱۳} توزیع آلودگی $\frac{\partial \phi}{\partial t} \neq 0$ به کار رود و با هدف افزایش دقت نتایج حاصله، متوسط تغییر کمیت در گامهای قبل و بعد از گذشت زمان Δt برای هر یک از گره‌های محاسباتی در نظر گرفته شود، روش QUICKEST ایجاد می‌گردد.

براساس محاسبات انجام گرفته، با به کارگیری شیوه فوق، معادله اساسی این روش به صورت زیر به دست خواهد آمد (Parsons et. al., 2001):

$$\phi_i^{n+1} = \phi_i^n - \frac{u \Delta t}{\Delta x} (F_r - F_l) + \frac{D \Delta t}{\Delta x^2} (G_r - G_l) \quad (6)$$

که در آن:

$$F_* = \frac{1}{2} (\phi_i^n + \phi_{i+1}^n) - \frac{\Delta x}{2} cr GR \phi_* + \frac{\Delta x^2}{6} (1 - cr^2 - 3\alpha) CURV \phi_* \quad (7)$$

$$G_* = \Delta x GR \phi_* - \frac{\Delta x^2}{2} cr CURV \phi_* \quad (8)$$

در معادلات فوق، CI عدد کورانته جریان برای سرعت در هریک از جهات x و یا y ، عملگر مشتق دوم جزئی نسبت به x و یا y بسته به نوع معادله، GR عملگر گرادیان برای دو بعد مسطحاتی x و y ، n بیانگر گام زمانی قبل (نسبت به گام زمانی جدید که معادلات در آن نوشته شده و مقادیر ϕ در آن مجهول هستند)، α عدد پکلت یا همان ضریب جمله سوم در سمت چپ معادله (۶) و F^* و G^*

در رودخانه معادل حداکثر ۲ متر بوده و لذا به نحوی است که امکان شبیه‌سازی سیستم در شرایط دوبعدی در سطح وجود دارد.

منحنی‌های همدمما در منطقه ۳۰۰ متر از ابتدای محدوده مدل‌سازی، حاصل از تحلیل عددی با استفاده از الگوهای QUICK یا QUICKEST (QDS)، TDS و FDS به‌ازای مقادیر مختلف اعداد بدون بعد در شکل‌های ۴ و ۵ ارائه گردیده است. تغییر در نتایج ناشی از تغییر در ابعاد و الگوی شبکه بندی در شکل‌های ۴ و ۵ ارائه شده است. در این شکل‌ها شماره‌های ذکر شده در کنارهای رودخانه بیانگر شماره گره آن نقطه از شبکه می‌باشند. به‌منظور امکان ارزیابی خطای ایجاد شده در هر روش عددی، داده‌های موجود از اندازه‌گیری‌های محلی به‌صورت منحنی‌های مینا در شکل‌های زیر نشان داده شده است. در شکل ۴، ابعاد مش‌بندی در امتداد محور رودخانه برابر ۳۰ متر و در امتداد عمود بر آن معادل ۱۰ متر انتخاب شده است. در این حالت ابعاد شبکه در مجاورت مرزها و همچنین نقطه ورود آلودگی حرارتی به‌طور متناسب کوچکتر انتخاب شده است که به ترتیب برای امتدادهای x و y برابر ۷.۵ و ۲.۵ متر است.

تبعیت مناسب نتایج روش QDS که از منحنی مرتبه دوم برای تخمین مقدار آلودگی حرارتی در دیواره‌های حجم کنترل استفاده می‌کند، در شکل ۴ مشهود است. بر اساس خطای محاسبه شده برای هر روش می‌توان نتیجه گرفت که استفاده از منحنی مرتبه سوم در منقطع‌سازی معادلات، به‌نحوی که در روش TDS بیان شد، منجر به نزدیکی بیشتری میان نتایج عددی و اندازه‌گیری محلی می‌شود. برای محاسبه خطا، با مینا قراردادن نتایج در دسترس از اندازه‌گیری میدانی، رابطه زیر مورد استفاده قرار گرفته است:

$$E = \sum e_{i,j}^2 = \sum \left(\frac{|\phi_{i,j} - \phi_{i,j}^{FM}|}{\phi_{i,j}^{FM}} \right)^2 \quad (9)$$

در این رابطه E خطای کل هر روش منقطع‌سازی، $e_{i,j}$ خطای ایجاد شده در هر گره از شبکه محاسباتی، $\phi_{i,j}$ غلظت آلودگی محاسبه شده در هر گره از حل عددی و $\phi_{i,j}^{FM}$ غلظت آلودگی واقعی در آن گره استنتاج شده از نتایج اندازه‌گیری میدانی است. آنچنانکه در شکل ۴ نشان داده شده، افزایش مرتبه منحنی به کاررفته در منقطع‌سازی از ۳ در TDS به ۴ در FDS نه‌تنها باعث افزایش دقت نتایج نشده بلکه تنها حجم محاسبات مورد نیاز برای روش عددی را تا حد قابل توجهی افزایش داده است.

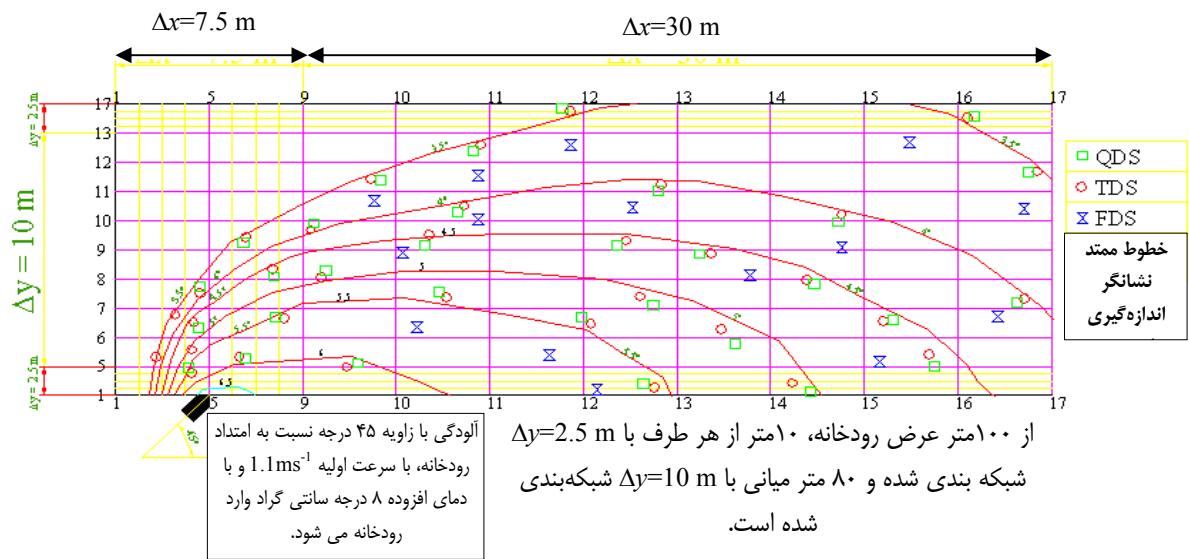
که با آزمایش منحنی مرتبه بالاتر (چهارم) و حل معادله حاکم و مقایسه دقت حاصله از هر روش، نهایتاً مرتبه بهینه منحنی به کار رفته در منقطع‌سازی معادله مشخص گردد. براین اساس در روش جدید دیگری، منحنی مرتبه چهار و این بار نیز به صورت منتقل شده به سمت بالادست به کار رفته و نتایج حاصله تحت عنوان روش FDS^{۱۵}، در شرائط یکسان اولیه و مرزی با روشهای پیشین، مقایسه شده است (Valeo and Moin, 2000). لذا در این روش، برای تعیین کمیت ϕ در دیواره حجم کنترل، مقدار ϕ در پنج گره محاسباتی که دو گره در پایین دست و مابقی در بالادست دیواره قرار دارند، دخالت خواهند داشت. شایان ذکر است که در مجاورت مرزها، لزوم اعمال اصلاح مشابه روش QUICK و همچنین اعمال شرایط مرزی وجود خواهد داشت.

۳- مقایسه الگوهای عددی و تحلیل نتایج

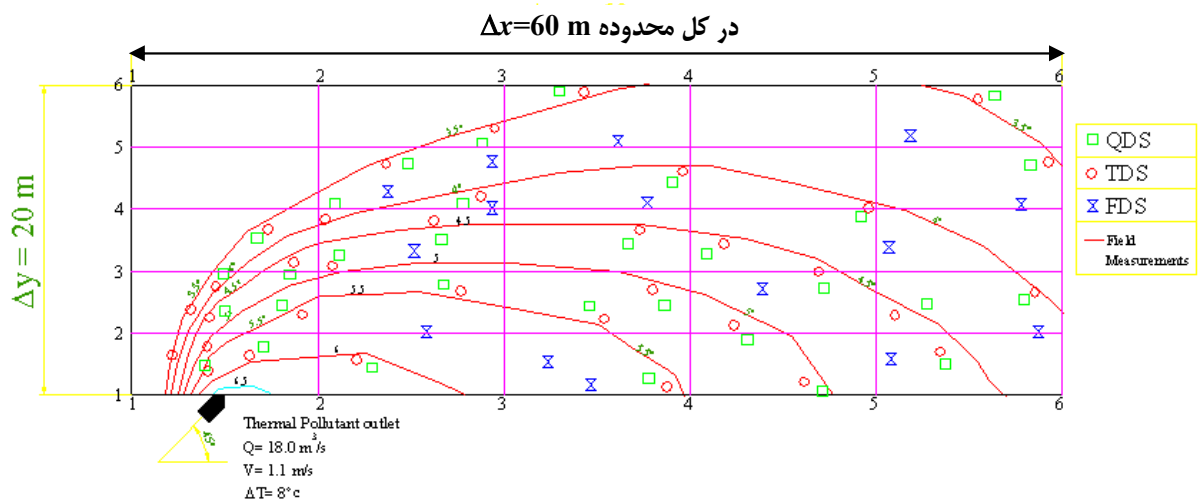
الگوهای معرفی شده، در شبیه‌سازی عددی توزیع آلودگی حرارتی در محیط سیال به کار رفته و نتایج ارزیابی و مقایسه شده‌اند.

مسئله نمونه مورد بررسی، چگونگی شکل‌گیری منحنی‌های همدمما در رودخانه "راین" تحت تاثیر تخلیه پساب گرم نیروگاه حرارتی مجاور آن است. این انتخاب، به‌دلیل دسترسی به نتایج اندازه‌گیری محلی از دمای آب رودخانه در محدوده تاثیر پساب گرم نیروگاه به‌عنوان مبنای مناسبی برای تعیین خطای حل عددی، انجام گرفته است (Stamou, 1992).

سیستم مدار خنک‌کننده نیروگاه، جریانی معادل $18 \text{ m}^3/\text{s}$ را از رودخانه آبیگری نموده و پس از اعمال افزایش دمایی معادل ۸ درجه سانتی‌گراد، پساب گرم و آلوده را در مقطع مشخصی در پایین‌دست نقطه آبیگری تخلیه می‌کند. سرعت جریان خروجی در محل ورود به رودخانه برابر $1/11 \text{ m/s}$ بوده و راستای این مجرا با محور رودخانه زاویه 45° می‌سازد. به‌دلیل تاثیر انحنای رودخانه در فاصله ناچیزی از دهانه کانال خروجی در بالادست آن، میدان سرعت به‌صورت دوبعدی در محدوده مورد مطالعه از رودخانه برقرار است. عرض متوسط رودخانه در این منطقه حدوداً برابر ۱۰۰ متر و طول مورد بررسی از آن معادل ۲۰۰۰ متر انتخاب شده است. به‌طوری که بتوان شرط مرزی پایین‌دست محدوده مدل‌سازی را عدم تغییر در آلودگی دمایی در هردو امتداد عمود بر هم در رودخانه در نظر گرفت. بر اساس نقشه خطوط هم‌تراز بستر در محدوده شبیه‌سازی، عمق آب



شکل ۴ - نتایج تحلیل دوبعدی توزیع آلودگی حرارتی با ابعاد کوچک شبکه بندی (منحنی های با خطوط ممند نشانگر داده های حاصل از اندازه گیری میدانی هستند)



شکل ۵ - نتایج تحلیل دوبعدی توزیع آلودگی حرارتی با ابعاد بزرگ شبکه بندی نسبت به شکل ۴

حالی که در روش FDS، که منحنی مرتبه چهارم را به کار می گیرد، خطای قابل توجهی با افزایش ابعاد مش بندی در نتایج ایجاد شده است. مقایسه کمی تر مقادیر خطا در هر روش عددی در بخش نتیجه گیری مورد اشاره قرار گرفته است.

۴- نتیجه گیری

با استفاده از الگوهای مختلف منقطع سازی در روش عددی تفاضل محدود در تحلیل چگونگی توزیع کمیت آلوده کننده در محیط سیال در شرایط دوبعدی، بررسی شد و مقایسه نتایج از حیث دقت و تطابق با داده های حاصل از اندازه گیری میدانی انجام گردید. این مقایسه نشان می دهد که:

مقایسه روش ها با یکسان سازی ابعاد مش بندی خصوصاً در مجاورت مرزها و اجرای مجدد مدل عددی با استفاده از الگوهای عددی مختلف انجام شده است. نتایج این مقایسه در شکل ۵ نشان داده شده است. با استفاده از معادله (۹) و محاسبه مجدد مقادیر خطا، می توان نتیجه گرفت که افزایش ابعاد مش بندی منجر به کاهش دقت نتایج در روش های عددی و ایجاد تفاوت با داده های حاصل از اندازه گیری شده است. اما در خصوص روش های QDS و TDS که به ترتیب با استفاده از منحنی های مرتبه دوم و سوم معادلات حاکم را تحلیل می کنند، افزایش ابعاد شبکه بندی تاثیر چندانی بر نتایج نداشته است. مقایسه شرایط مختلف نشان داده شده در شکل های ۴ و ۵ نشانگر عدم تاثیر قابل توجه تغییر در الگوی شبکه بندی است. در

12. Quadratic Upstream Interpolation for Convective Kinematics (QUICK)
13. Transient
14. Third-Order Difference Scheme
15. Fourth-Order Difference Scheme

۵- مراجع

نجفی جیلانی، ع. (۱۳۷۶)، "کاربرد روش‌های عددی دقیق در مدل‌سازی توزیع آلودگی در رودخانه‌ها" پایان‌نامه کارشناسی ارشد سازه‌های هیدرولیکی، دانشکده فنی دانشگاه تهران، ۱۳۴ صفحه.

Arnold, J.G., Williams, J.R., Griggs, R.H., and Sammons, N.B., (1990), *A basin scale simulation model for soil and water resources management*, A&M Press, Texas.

Beck, M.B., (1995), *Construction and evaluation of models of environmental systems*, John Wiley and Sons, London, pp. 3-35.

Brian L., Loving, B.L., and Waddell, M., (1998), *Water and salt balance of Great Salt Lake, Utah, and simulation of water and salt movement through the causeway*, USGS, Water Resources Investigations Report 00-4221, pp. 50-114.

Chiew, F.H.S., and Peel, M.C., (2002), *Application and testing of the simple rainfall-runoff model*, Water Resources Publication, Littleton, Colorado, No. 26.

De Roo, A.P.J., and Jetten, V.G., (1999), "Calibrating and validating the LISEM model for two data sets from the Netherlands and South Africa", *Catena*, No. 37, pp. 477-493.

Leonard, B. P., (1979), *A stable and accurate convective modeling procedure*, John Wiley and Sons, England, No. 5, pp. 10-42.

Parsons, J.E., Thomas, D.L., and Huffman, R.L., (2001), *Non-point sources water quality models; their use and application*, Final Report of USDA-CSREES Southern Region Research Project, Development and Application of Comprehensive Agricultural Ecosystems Models, pp. 200-230.

Prosser, I.P., (2001), "A model of river sediment budgets as an element of river health assessment", *Proceedings of the International Congress on Modeling and Simulation (MODSIM, 2001)*, December 10-13, pp. 861-866.

Simons, M., (1996), "A hydrologic modeling tool for water resources and salinity management", *Environmental Softwares Journal*, Vol. 11, pp. 1-3.

Stamou A.I., (1992), "Improving the numerical modeling of river water quality", *Journal of Hydrology*, Vol. 23, pp. 20-33.

۱. استفاده از روش تفاضل محدود با به کارگیری الگوهای مرتبه دوم در میانه میدان حل به نحوی که در روش QUICK معرفی می‌شود، منجر به افزایش دقت نتایج خصوصاً در نقاط مجاور مرزها می‌گردد.

۲. با به کارگیری منحنی مرتبه سوم در منقطع‌سازی معادلات، آنچنان‌که در روش جدید TDS ذکر شد، بیشترین انطباق با داده‌های حاصل از اندازه‌گیری میدانی حاصل می‌گردد. این روش افزایش قابل توجهی را نیز در میزان محاسبات مورد نیاز برای حل عددی نسبت به روش QUICK از خود نشان نمی‌دهد.

۳. نتایج حاصل از روش جدید مرتبه سوم غیر ماندگار (TDS)، به طور متوسط و برای شرایط مورد مطالعه حداکثر ۵٪ با نتایج اندازه‌گیری واقعی تفاوت نشان می‌دهد. در حالی که این خطا برای روش QUICK حدود ۱۰٪ است (بر اساس معادله (۹)).

۴. تحلیل حساسیت روش‌ها نسبت به ابعاد شبکه نشان می‌دهد که در روش جدید TDS، حتی با دوبرابر نمودن ابعاد مش بندی در مجاورت مرزها، تنها ۱٪ افزایش خطا رخ می‌دهد. درحالی‌که در روش مرتبه دوم همگام (QUICK)، افزایش خطایی حدوداً معادل ۱۰٪ ایجاد می‌گردد.

۵. افزایش مرتبه منحنی از ۳ به ۴ در روش جدید FDS، منجر به افزایش قابل توجه میزان محاسبات عددی و حتی افزایش خطای عددی به صورت موردی در نتایج می‌گردد. در این روش لزوم انتخاب ابعاد بسیار کوچک شبکه و افزایش قابل توجه زمان تحلیل وجود دارد. ضمن اینکه دقت نتایج نیز خصوصاً در مجاورت مرزها تا حد زیادی کاهش می‌یابد.

۶. با توجه به موارد فوق، برای توسعه مدل‌های عددی پخش آلودگی در روش تفاضل محدود، الگوی منقطع‌سازی TDS که از منحنی مرتبه سوم و به صورت انتقال یافته به سمت بالادست (انتخاب تعداد سه نقطه از سمت ورود جریان به حجم کنترل و یک نقطه از سمت خروج آن) استفاده می‌کند، توصیه می‌گردد.

پی‌نوشت‌ها

1. Finite Difference
2. Discrete
3. Courant Number
4. Peclet Number
5. Unconditionally Stable
6. Finite Element
7. Steady Flow
8. Great Salt Lake
9. Advection
10. Diffusion
11. Sink/Source Term

- catchments”, *23rd Hydrology and Resources Symposium*, North Queensland, Sydney.
- Watson, F., Rahman, J., and Seaton, S., (1996), “Deploying environmental software using the Tarsier modeling framework”, *Proceedings of the Third Australian Stream Management Conference*, August 27-29, pp. 631-638.
- Trudgill, S.T., and J. Ball, (1995), *Overview of solute modeling in catchments systems*, John Wiley and Sons, London, pp. 3-56.
- Valeo, C., and Moin, S.M.A., (2000), “Grid-resolution effects on a model for integrating urban and rural areas”, *Hydrological Process Manual*, No. 14, pp. 2505-2525.
- Walton, R., and Hunter, H., (1996), “Modeling water quality and nutrient fluxes in the Johnstone River

تاریخ دریافت مقاله: ۲۶ بهمن ۱۳۸۲

تاریخ اصلاح مقاله: ۲۰ خرداد ۱۳۸۵

تاریخ پذیرش مقاله: ۱۰ تیر ۱۳۸۵